

改定不完全コレスキー前処理 付CG法の大規模行列での特性

2023年7月12日

後 保範 (ISCPC)

1. はじめに

- 拡散方程式における差分法の反復解法
 - 不完全コレスキー (IC) に α を追加前処理CG法
 - MICCG法の収束の良いパラメータ α の自動推定
 - MICCG法はICCG法より圧倒的に収束が速い
 - 最良パラメータ ω のSSOR前処理付きCG法と比較
 - 2次元： 反復回数が1/1.2~1/4.7に減少
 - 3次元： 反復回数が1/1.1~1/3.1に減少
- 大規模、複雑なほどMICCG法の効果が大

2. 前処理付き共役勾配法 (CG)

- 共役勾配法 (CG) は対称疎行列用の反復解法
- M行列 (拡散方程式) は前処理で収束が良くなる
- 前処理はSSOR、IC (不完全コレスキー) が有名
- MIC (改定IC) はICにパラメータ (α) を追加
- MIC, SSOR, IC前処理ともCG法の反復計算は同じ
- α は分解誤差を対角で補正: $1-\alpha$ は対角との差
- 従来 $\alpha=0.98$ 前後。規模大で $1-\alpha$ は小さくなる
- パラメータ α を分割数で自動作成を提案

2.1 前処理付きCG法の手順

初期値 $x=0$, 行列 A を不完全 LDL^T 分解する

$$r=b-Ax, \quad p=(LDL^T)^{-1}r, \quad \mu_1=(r, p)$$

収束するまで以下を反復計算

$$q=Ap, \quad \alpha = \mu_1 / (p, q)$$

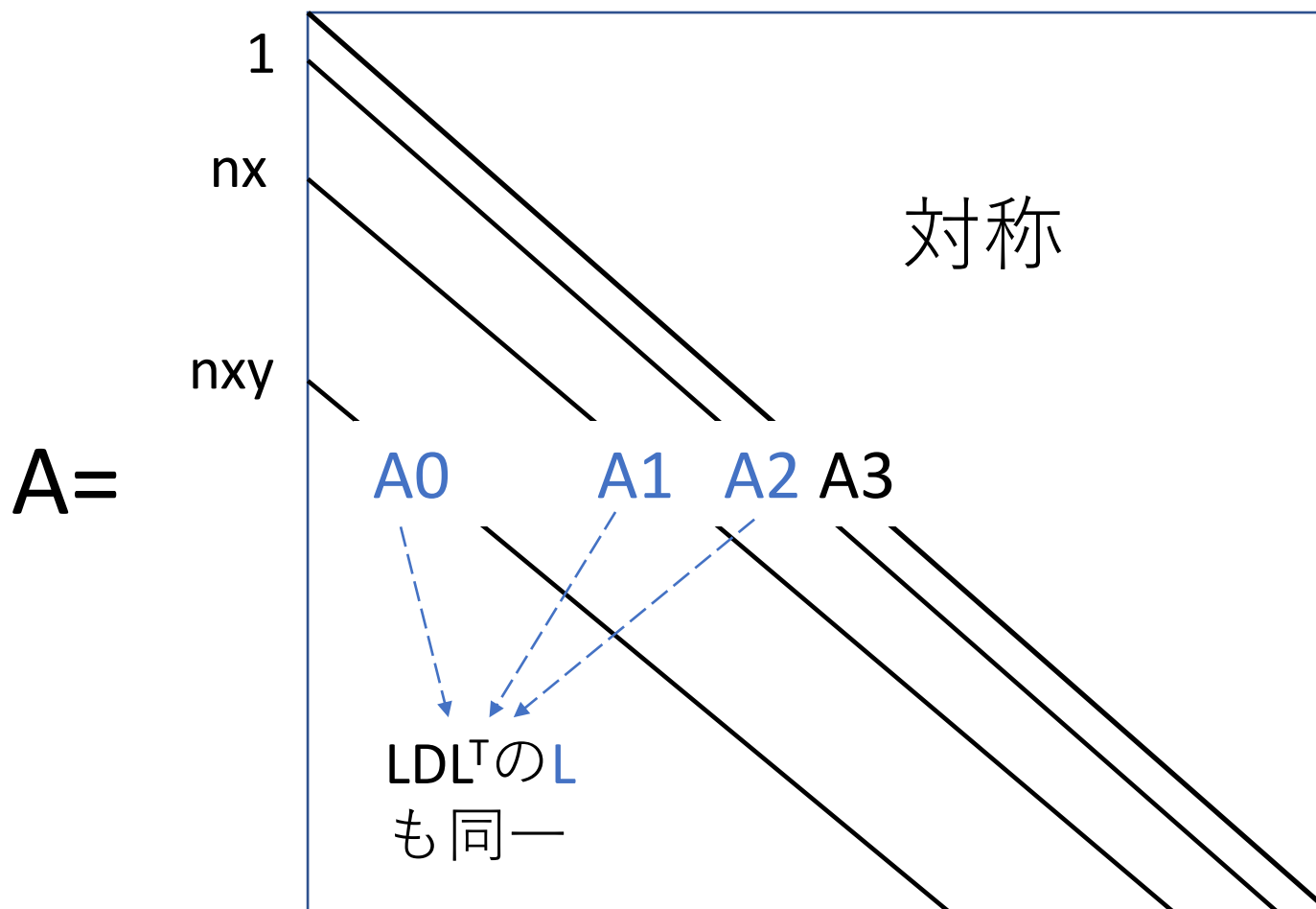
$$x=x+\alpha p, \quad r=r-\alpha q$$

$$q=(LDL^T)^{-1}r, \quad \mu_2=(r, q)$$

$$\beta = \mu_2 / \mu_1, \quad \mu_1 = \mu_2$$

$$p=q+\beta p$$

2.3 3次元差分法による行列



2.4 $q = (LDL^T)^{-1}r$ の計算 (共通)

```

for (k=0; k<n; k++)
  { q[k] = D[k]* ( r[k] - A2[k]*q[k-1]
                  - A1[k]*q[k-nx]
                  - A0[k]*q[k-nxy] ) ;
  }
for (k=n-1; k>=0; k--)
  { q[k] -= D[k]* ( A2[k+1]*q[k+1]
                  + A1[k+nx]*q[k+nx]
                  + A0[k+nxy]*q[k+nxy] ) ;
  }

```

2.5 不完全LDL^T分解 (SSOR)

- SSORの加速係数 ω (< 2.0)、Dを求める。

```
for (k=0; k<n; k++)  
    { D[k] =  $\omega$  / A3[k]; }
```

注)

不完全LDL^T分解では対角を除くLは
 A_0, A_1, A_2 をそのまま使用(IC, MICも)

2.6 不完全LDL^T分解 (IC)

- パラメータ無し、Dを求める。分解誤差無視。

```
for (k=0; k<n; k++)  
  { dv = A3[k] - A2[k]*A2[k]*D[k-1]  
    - A1[k]*A1[k]*D[k-nx]  
    - A0[k]*A0[k]*D[k-nxy];  
    D[k] = 1.0 / dv;  
  }
```


2.7 不完全LDL^T分解 (MIC)

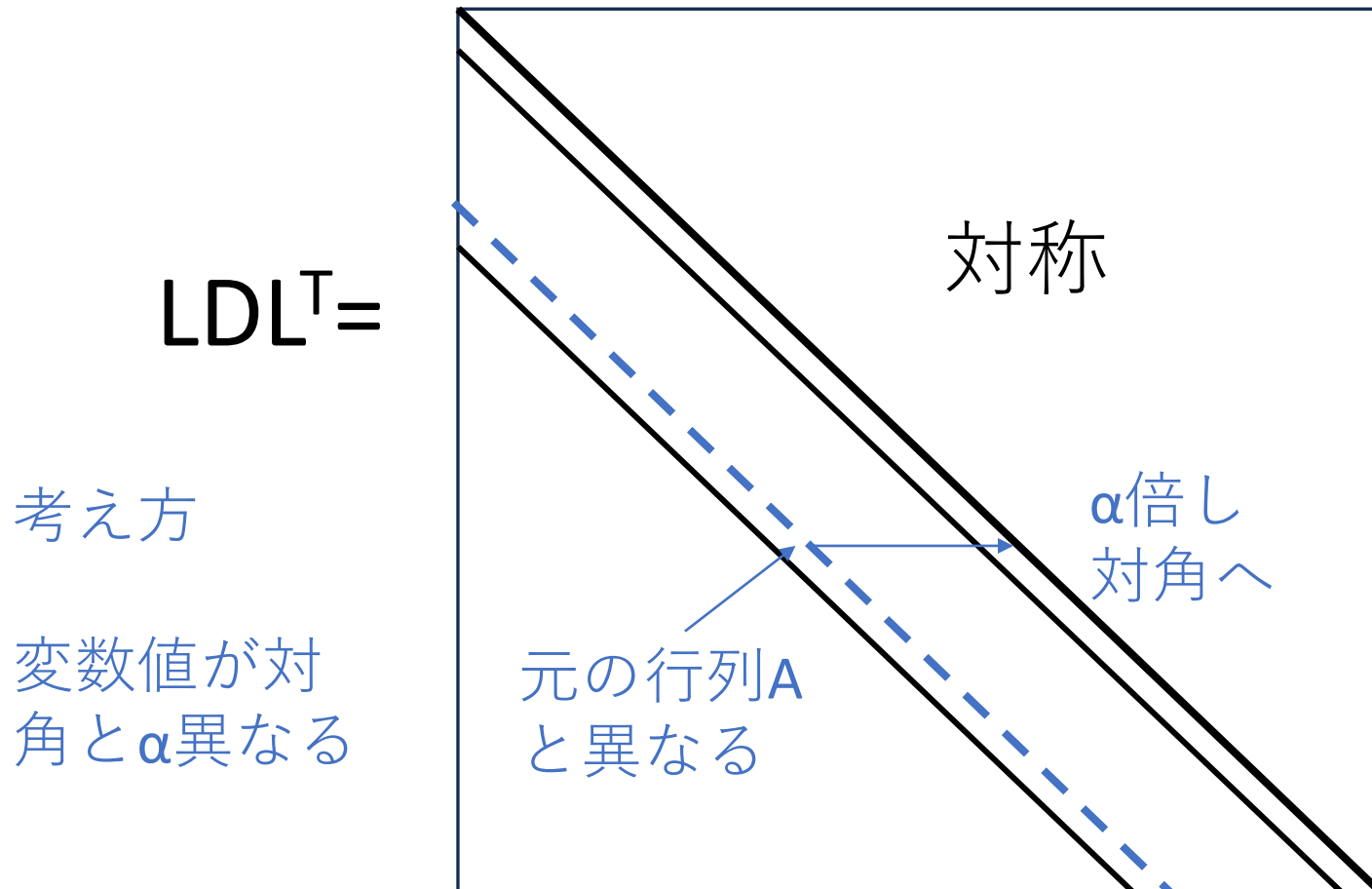
- パラメータ α (< 1.0)、Dを求める。 α *誤差を対角に

```

for (k=nxy; k<n_A; k++)
  { dv = A3[k] - A2[k]*D[k-1]*( A2[k] +  $\alpha$  *
    ( A1[k+nx-1] + A0[k+nxy-1] ) )
    - A1[k]*D[k-nx]*( A1[k] +  $\alpha$  *
    ( A2[k-nx+1] + A0[k+nxy-nx] ) )
    - A0[k]*D[k-nxy]*( A0[k] +  $\alpha$  *
    ( A2[k-nxy+1] + A1[k-nxy+nx] ) );
    D[k] = 1.0 / dv;
  }

```

2.8 MICの考え方(2次元の例)



3 計算対象 (環境)

- 計算機

Intel Core i7 6700k, 4Ghz, 8GBメモリ

- OS: Windows10

- コンパイラ

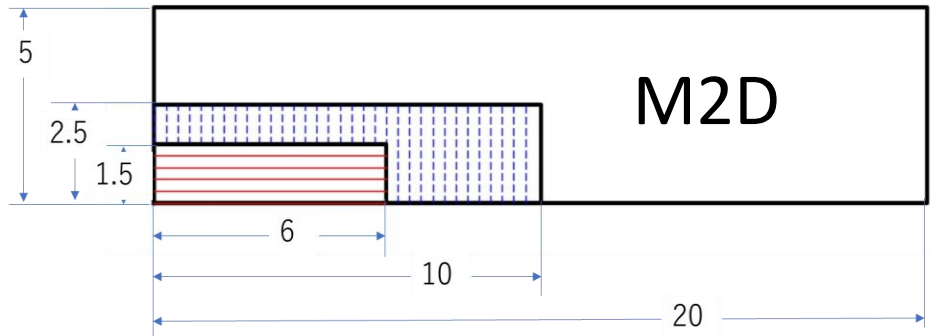
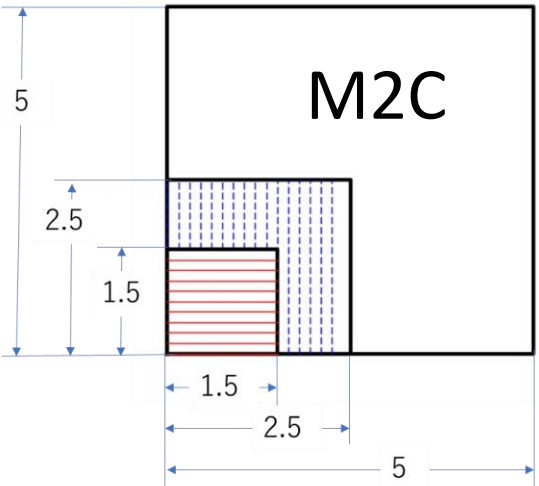
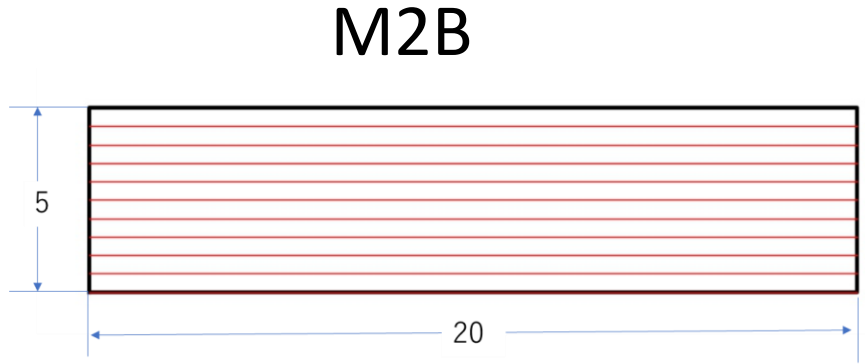
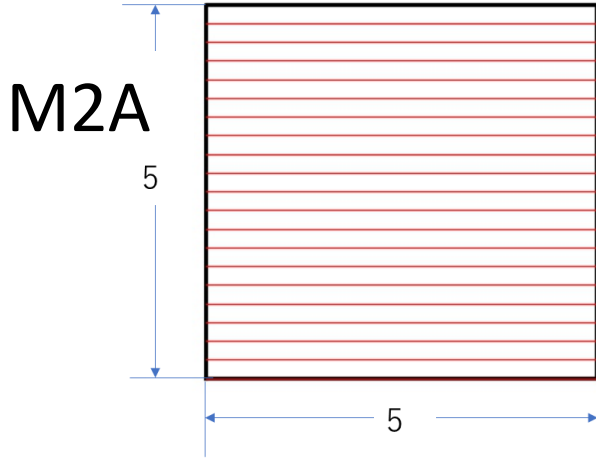
Cygwin Ver. 2.7 gcc, -O3

- 拡散方程式 ($-\text{div}(k \cdot \text{grad}(\phi)) = f$) の差分法
離散化 (2次元、3次元)

- 収束判定 (下記となる反復回数)

$$\|Ax-b\|_2 / \|b\|_2 \leq 1.0e-8$$

3.1 2次元対象モデル



3.2 係数と境界条件

- 拡散方程式 ($-\text{div}(\text{grad}(k \cdot \phi))$) の係数

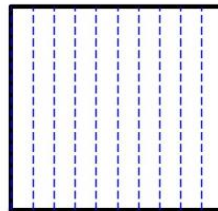
$$k = 0.5$$

$$f = 10$$



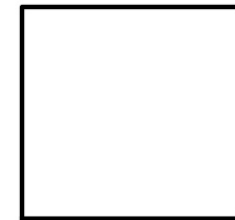
$$k = 0.1$$

$$f = 0$$



$$k = 1.0$$

$$f = 0$$



- 境界条件

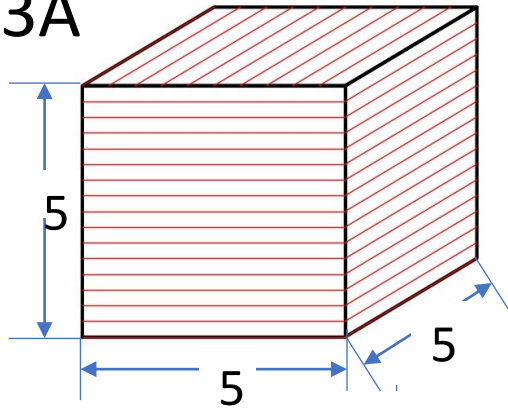
B0: 全て固定境界

B2: 2辺(低位)対称、2辺固定境界

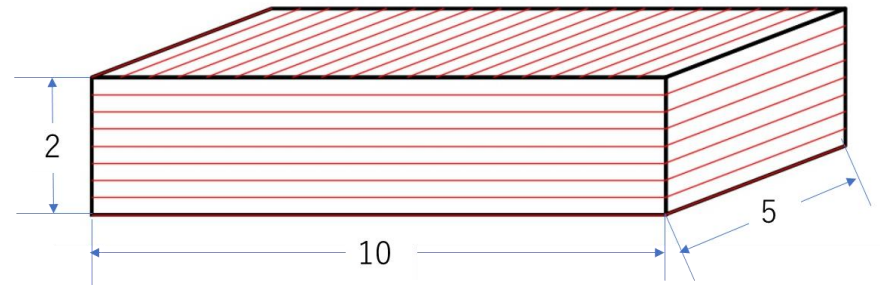
B4: 各辺対称境界で、1点だけ固定境界

3.3 3次元対象モデル

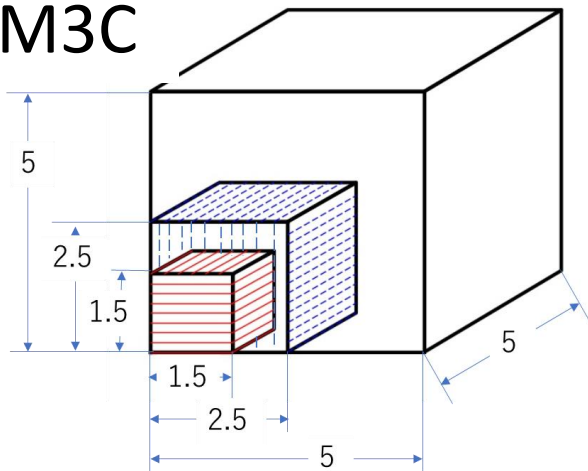
M3A



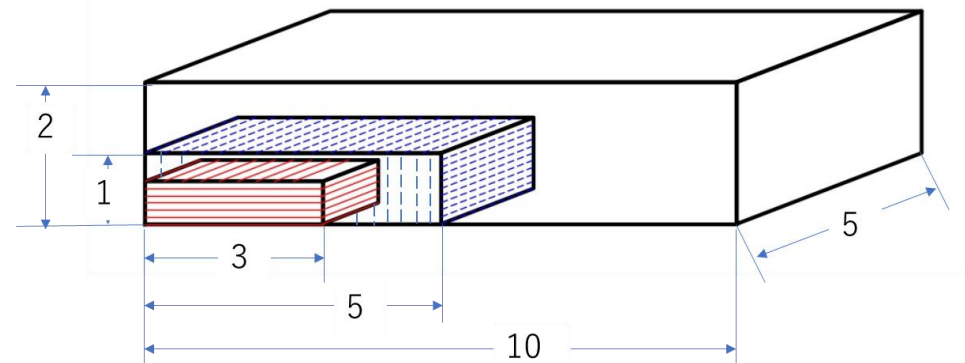
M3B



M3C



M3D

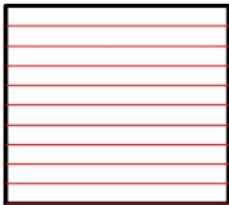


3.4 係数と境界条件

- 拡散方程式 ($-\text{div}(\text{grad}(k \cdot \phi))$) の係数

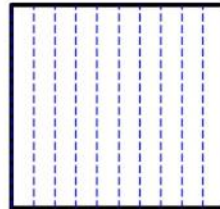
$$k = 0.5$$

$$f = 10$$



$$k = 0.1$$

$$f = 0$$



$$k = 1.0$$

$$f = 0$$



- 境界条件

B0: 全て固定境界

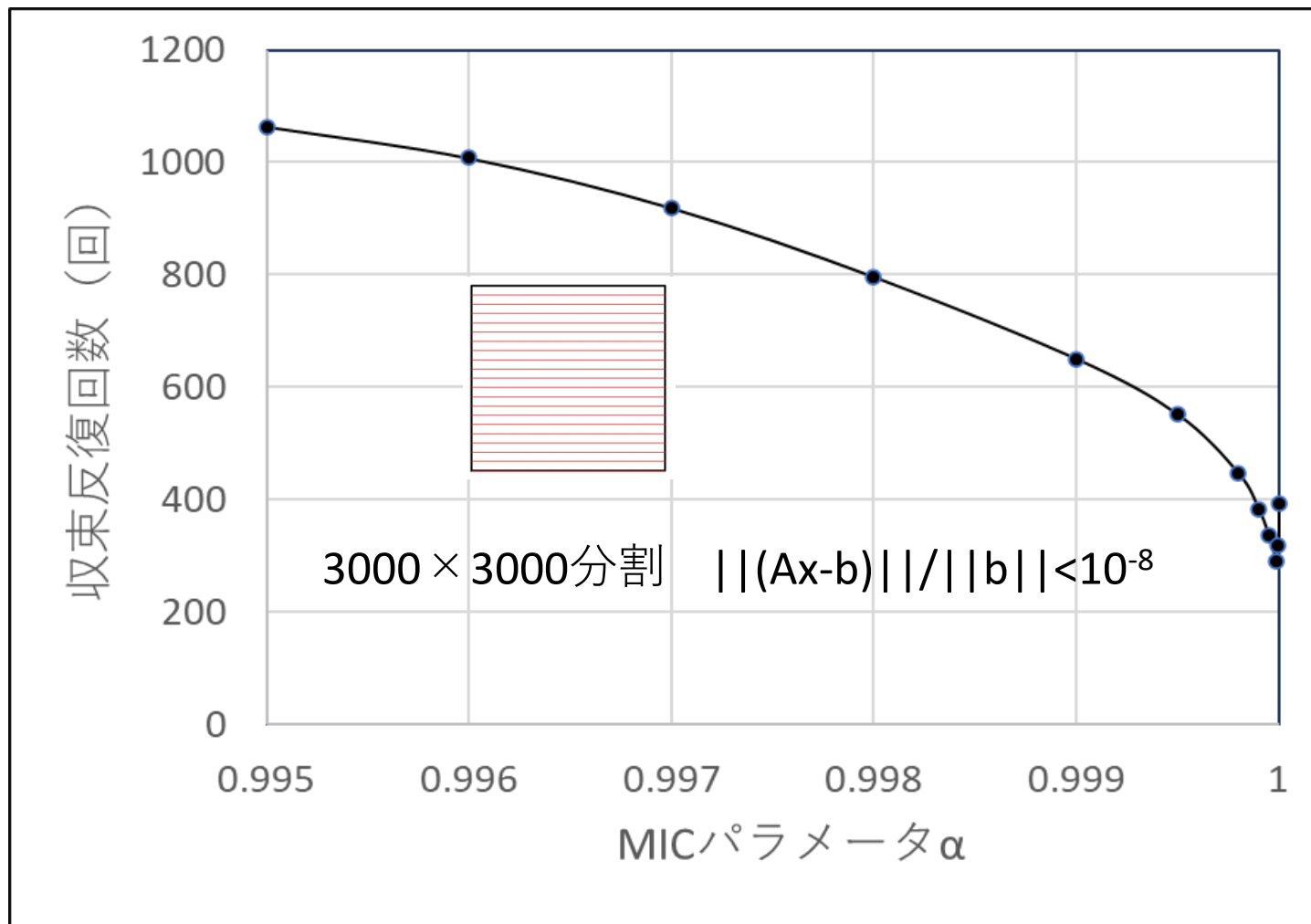
B3: 3面(低位)対称、3面固定境界

B6: 各面对称境界で、1点だけ固定境界

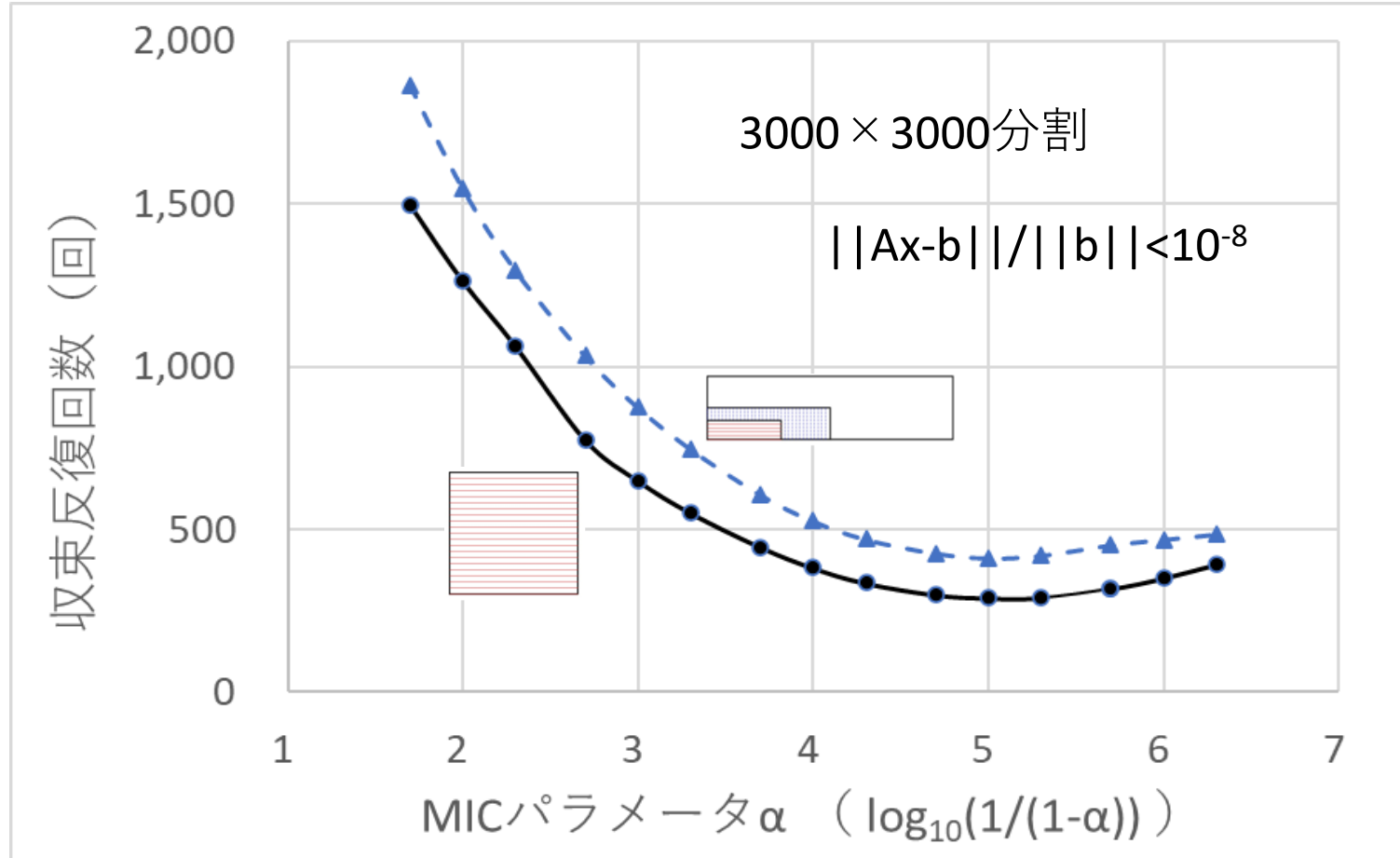
4 MICCG法のパラメータ α

- 不完全コレスキー分解 (IC) は対角だけ計算
- 非ゼロ要素の位置は元と分解後で一致する
- 非ゼロ要素以外の位置に誤差が発生する
- MICは非対角 $R=LDL^T-A$ を $D=D-\alpha R$ として処理
- 収束が良い α の自動算出を計画
- 規模大で 1 の手前の α は収束が大きく変化
- $1-\alpha$ と分割数はほぼ対数関係にあると判明
- 分割数で収束の良い α の算出に成功

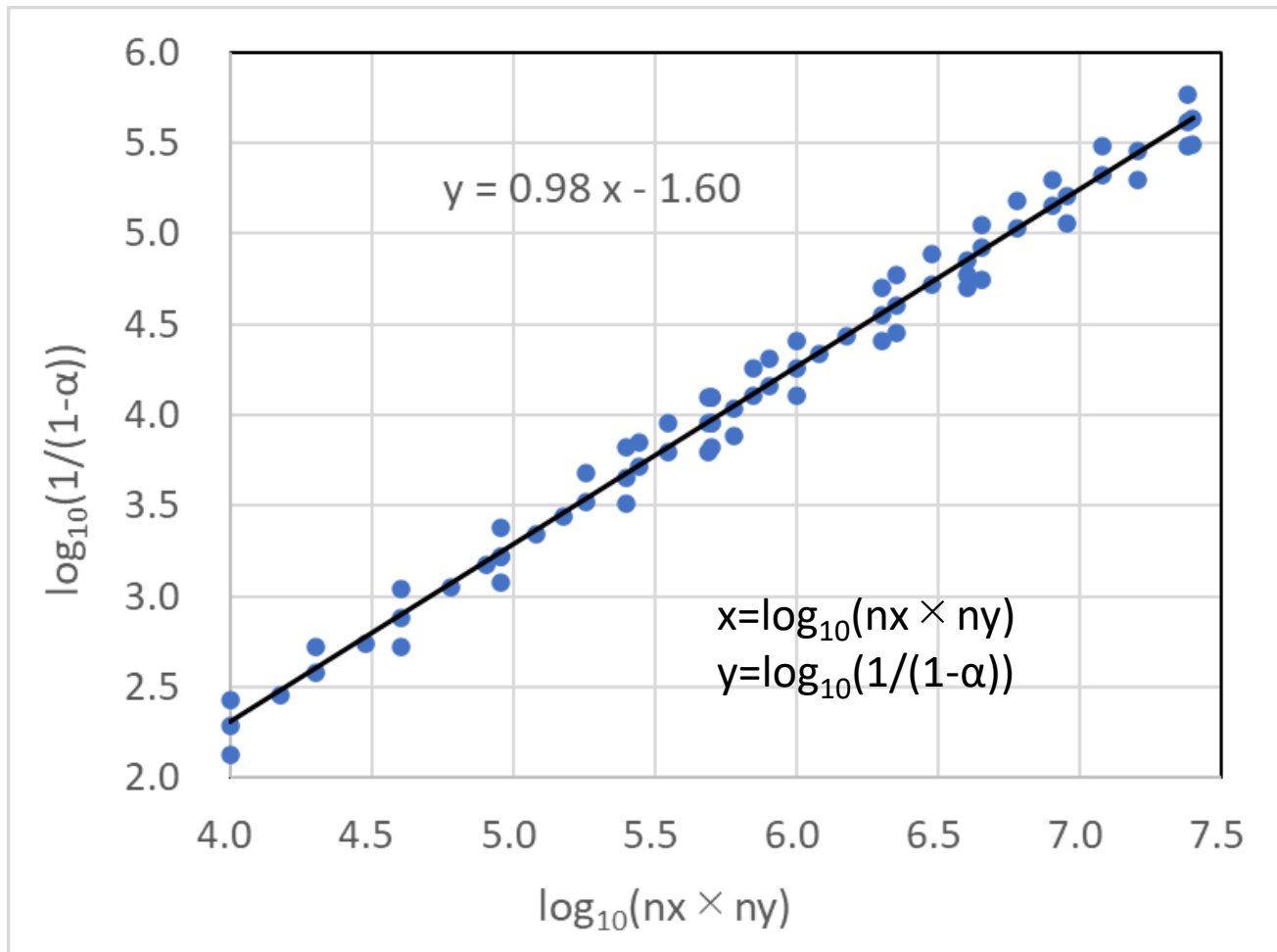
4.1 α とMICCG収束状況 (2次元)



4.2 対数での収束状況（2次元）



4.3 分割数と最適 α (2次元MIC)



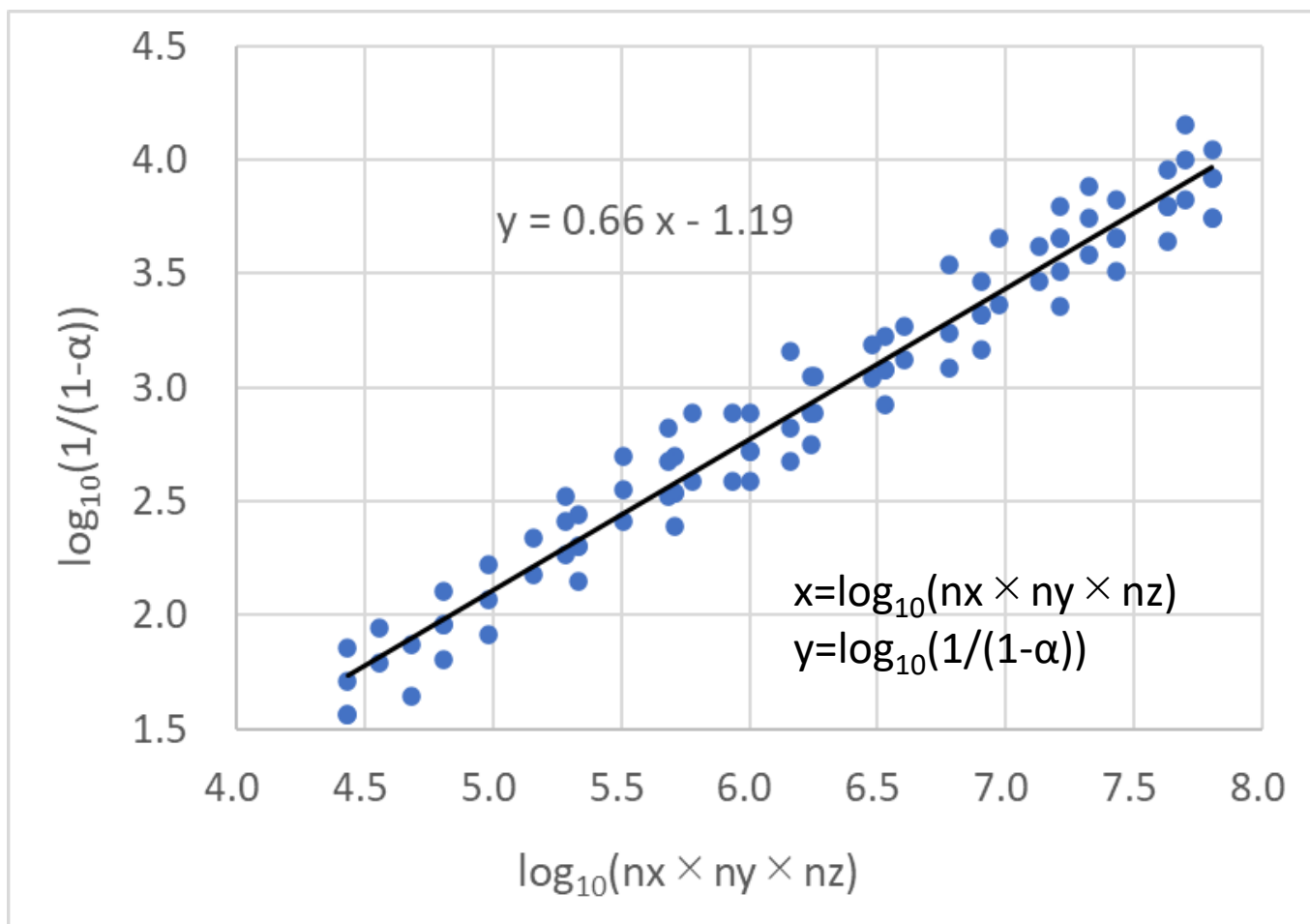
全モデル
対象

分割数
 $n_x \geq n_y$
 $n_x \leq 2n_y$

4.4 適用 α の計算 (2次元)

- MICCGに適用するパラメータ α の計算
 - x, y 方向の分割数を n_x, n_y とする
 - $x = \log_{10}(n_x \times n_y)$, $y = \log_{10}(1/(1-\alpha))$ とする
 - $y = 0.98x - 1.60$ の関係が前図から得られる
-
- n_x, n_y から $x = \log_{10}(n_x \times n_y)$ を求める
 - $y = 0.98x - 1.60$ に x を与え y の値を求める
 - $1/d = 1/(1-\alpha) = 10^y$ から d を求める
 - $\alpha = 1-d$ で MICCG のパラメータ α を求める

4.5 分割数と最適 α (3次元MIC)



全モデル
対象

分割数
 $n_x \leq n_y \leq n_z$
 $n_x \leq 2.5n_z$

4.6 適用 α の計算 (3次元)

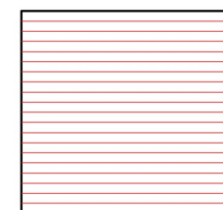
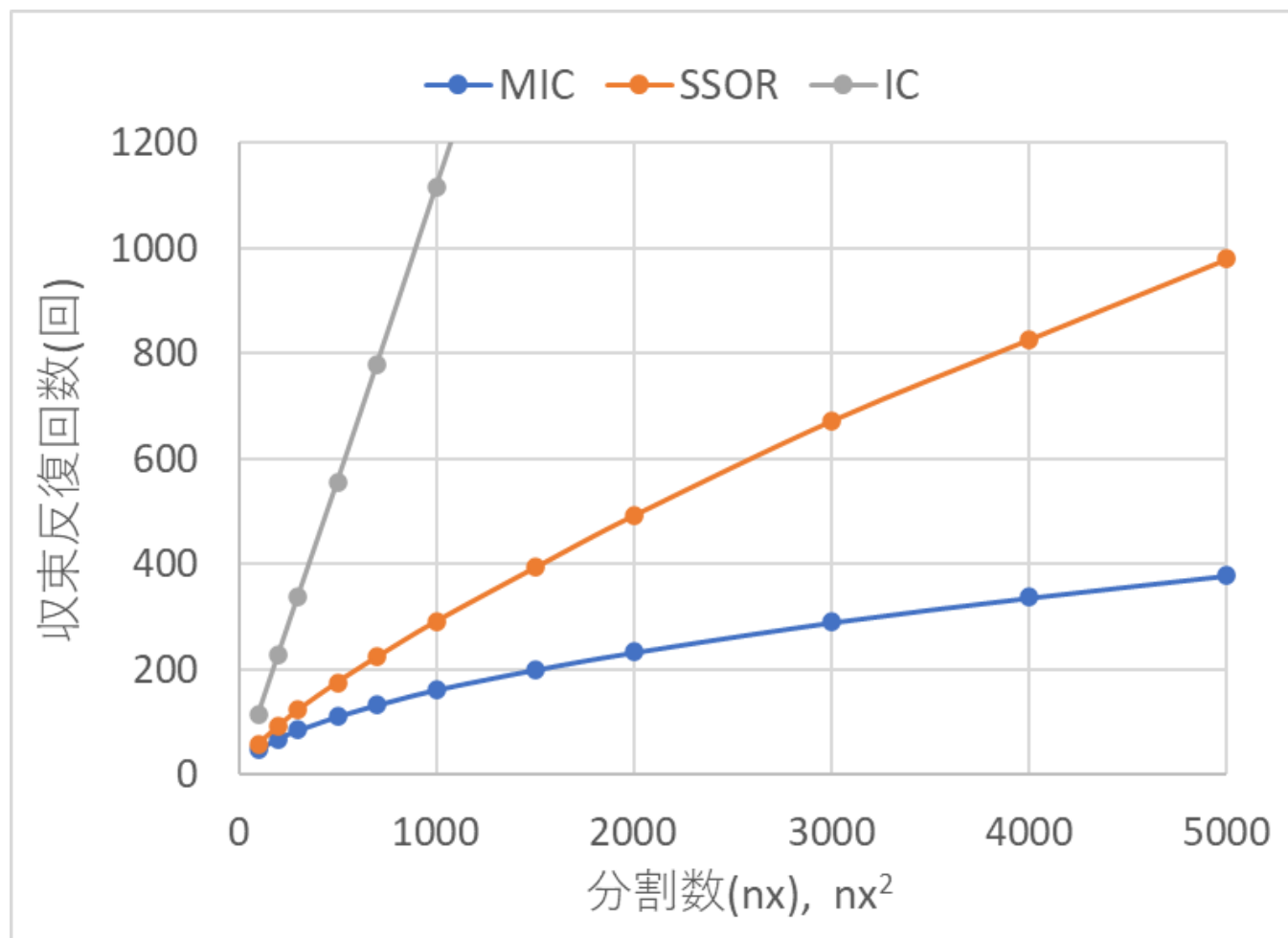
- MICCGに適用するパラメータ α の計算
- x, y, z方向の分割数を n_x, n_y, n_z とする
- $x = \log_{10}(n_x \times n_y \times n_z)$, $y = \log_{10}(1/(1-\alpha))$ とする
- $y = 0.66x - 1.19$ の関係が前図から得られる

- n_x, n_y, n_z から $x = \log_{10}(n_x \times n_y \times n_z)$ を求める
- $y = 0.66x - 1.19$ に x を与え y の値を求める
- $1/d = 1/(1-\alpha) = 10^y$ から d を求める
- $\alpha = 1-d$ でMICCGのパラメータ α を求める

5 MIC, SSOR, IC前処理の比較

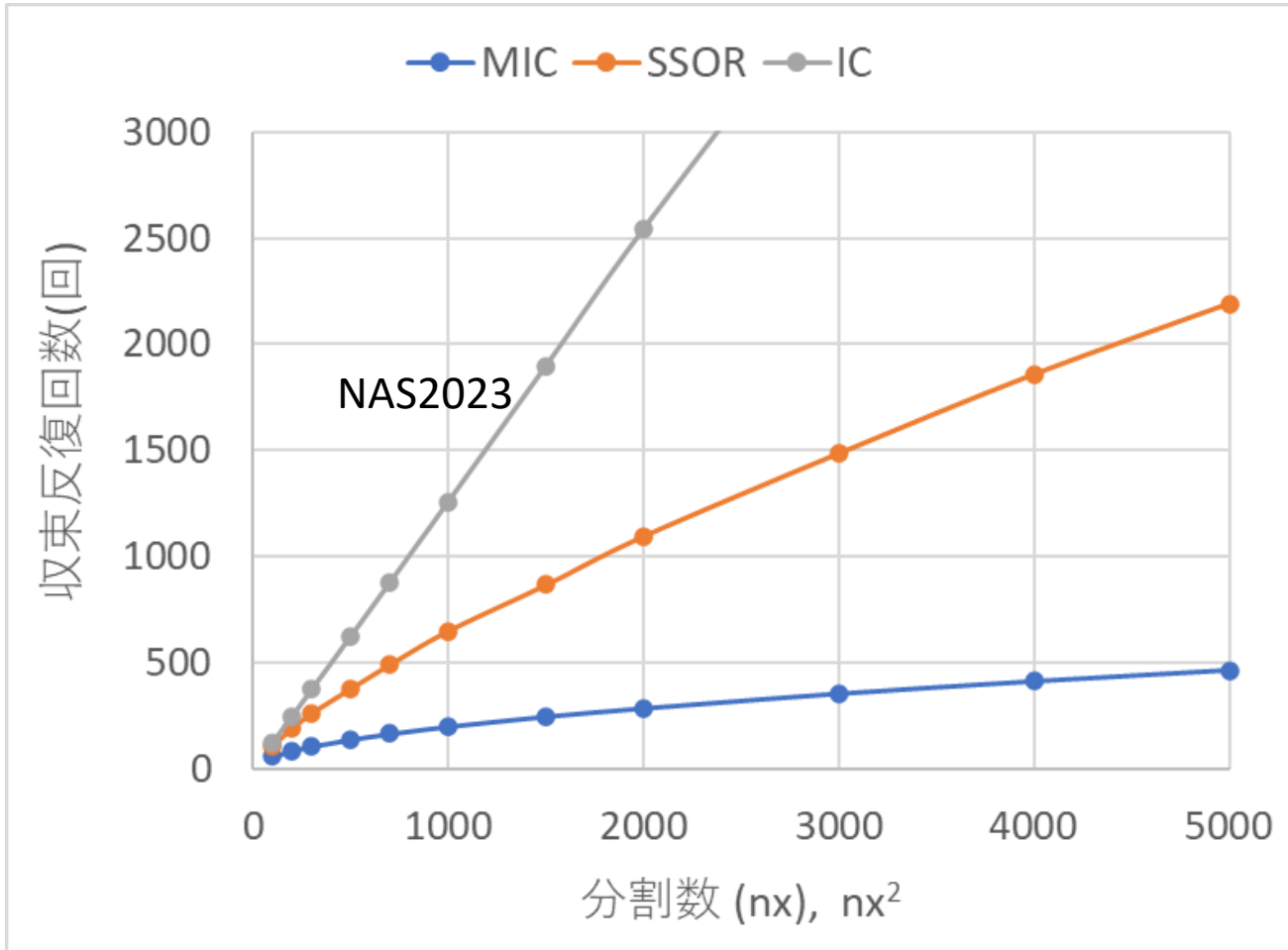
- 拡散方程式の差分法の反復法 ($Ax=b$) で比較
- 比較は $\|Ax-b\|_2 / \|b\|_2 < 10^{-8}$ となる反復数
- MIC, SSOR, ICの前処理付きCG法で比較
- SSORは加速係数 ω を1/200単位で変化させ、
反復数が最も少ないものを使用
- MICはパラメータ α を分割数で自動設定の
反復数を使用
- ICはパラメータ無し

5.1 M2A-B2での比較結果



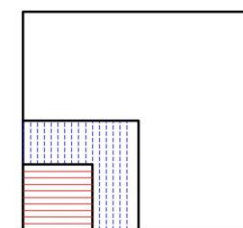
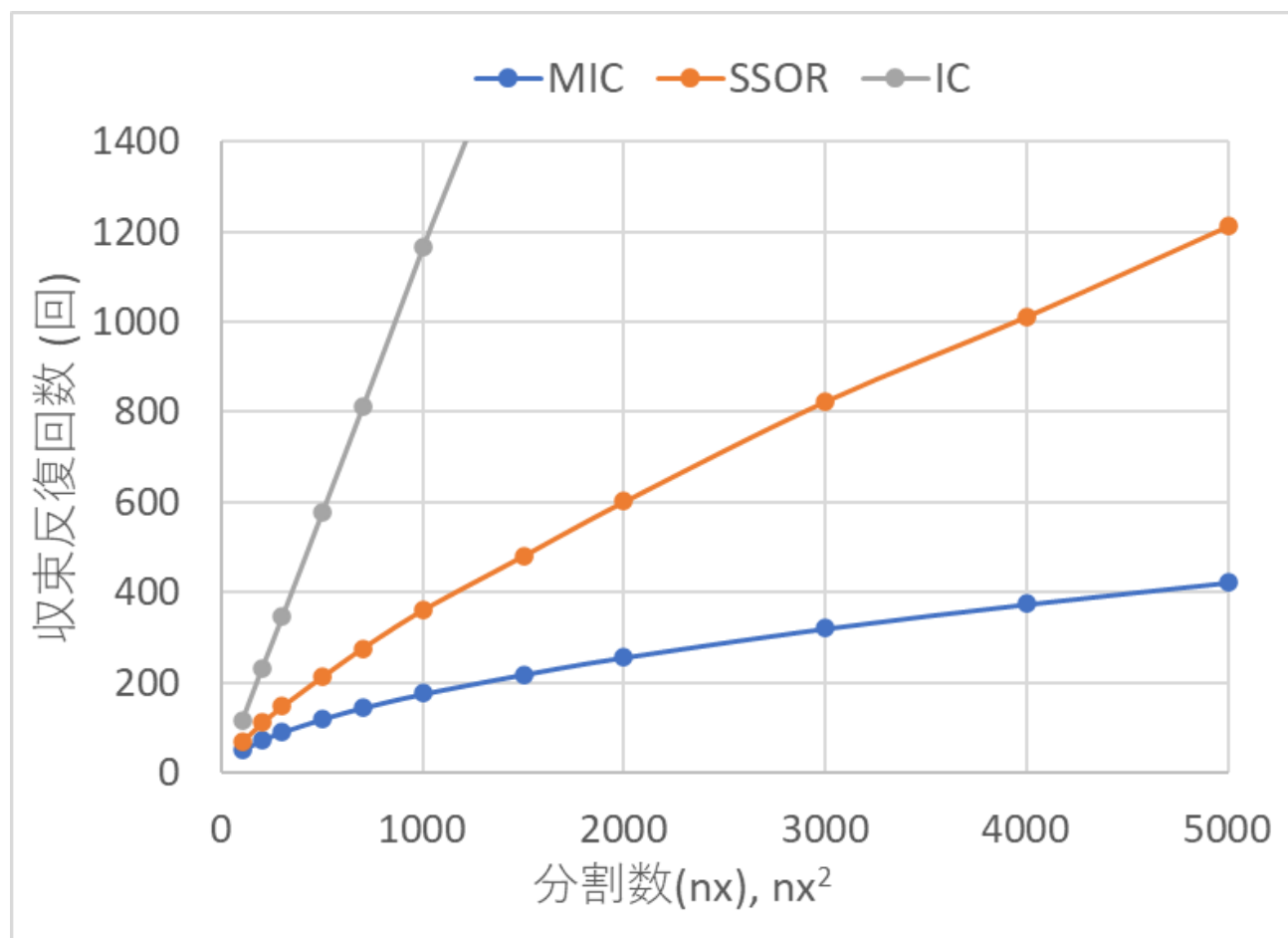
MIC: α
自動
SSOR: ω
最良

5.1 M2B-B2での比較結果



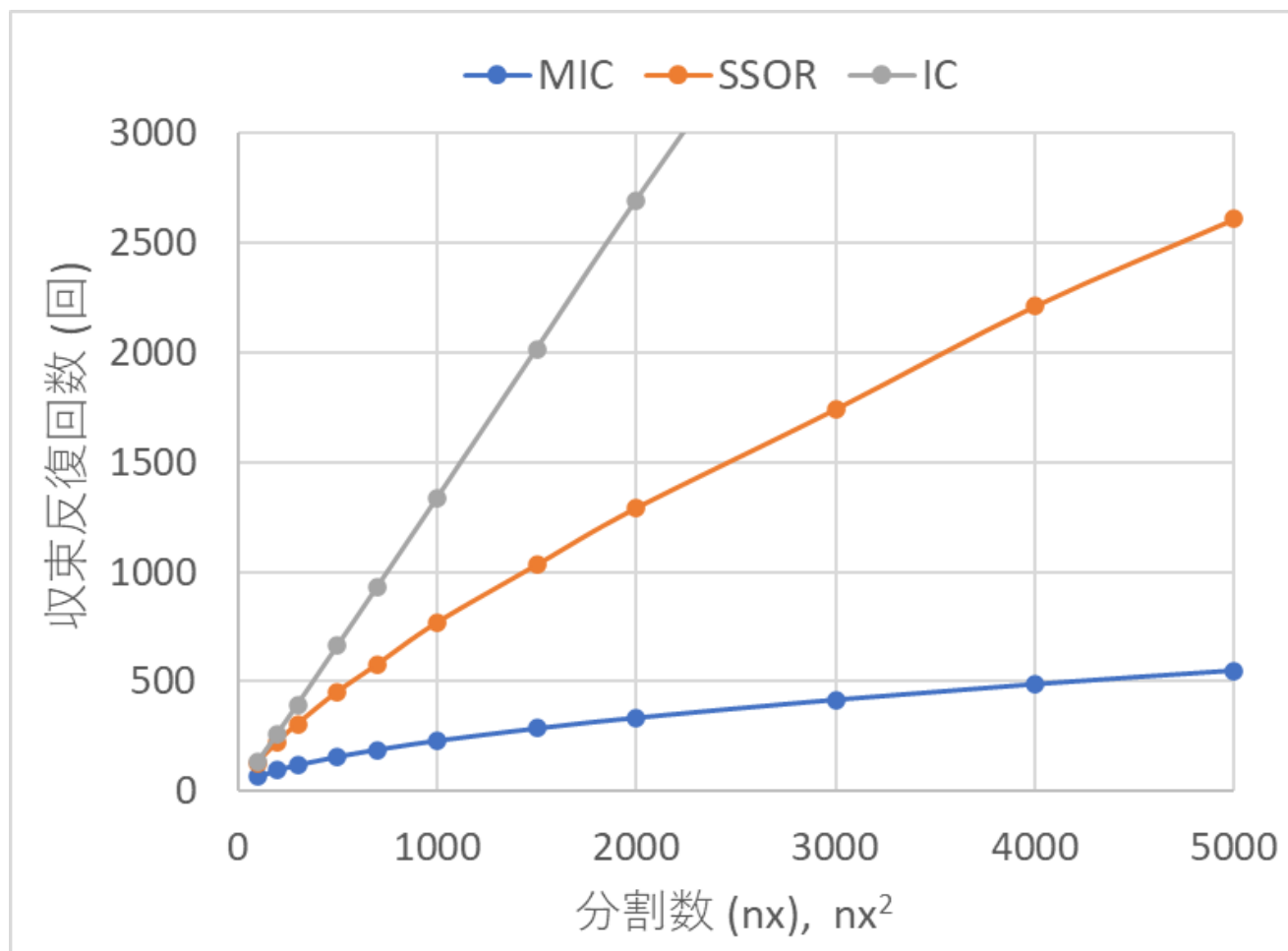
MIC: α
 自動
 SSOR: ω
 最良

5.1 M2C-B2での比較結果



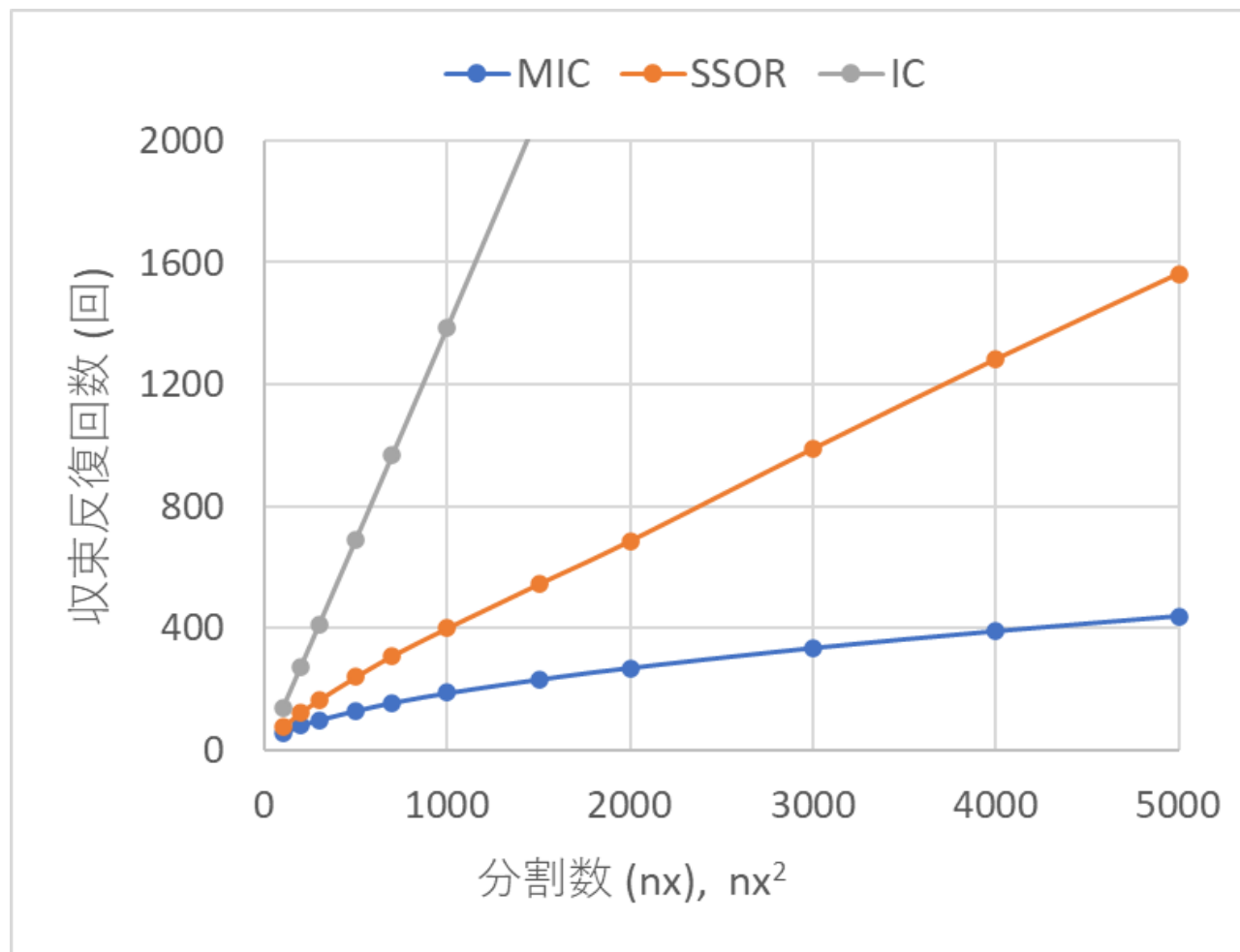
MIC: α
自動
SSOR: ω
最良

5.1 M2D-B2での比較結果

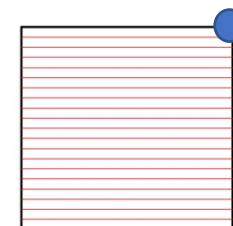


MIC: α
自動
SSOR: ω
最良

5.2 M2A-B4での比較結果

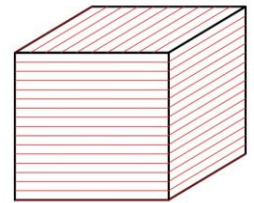
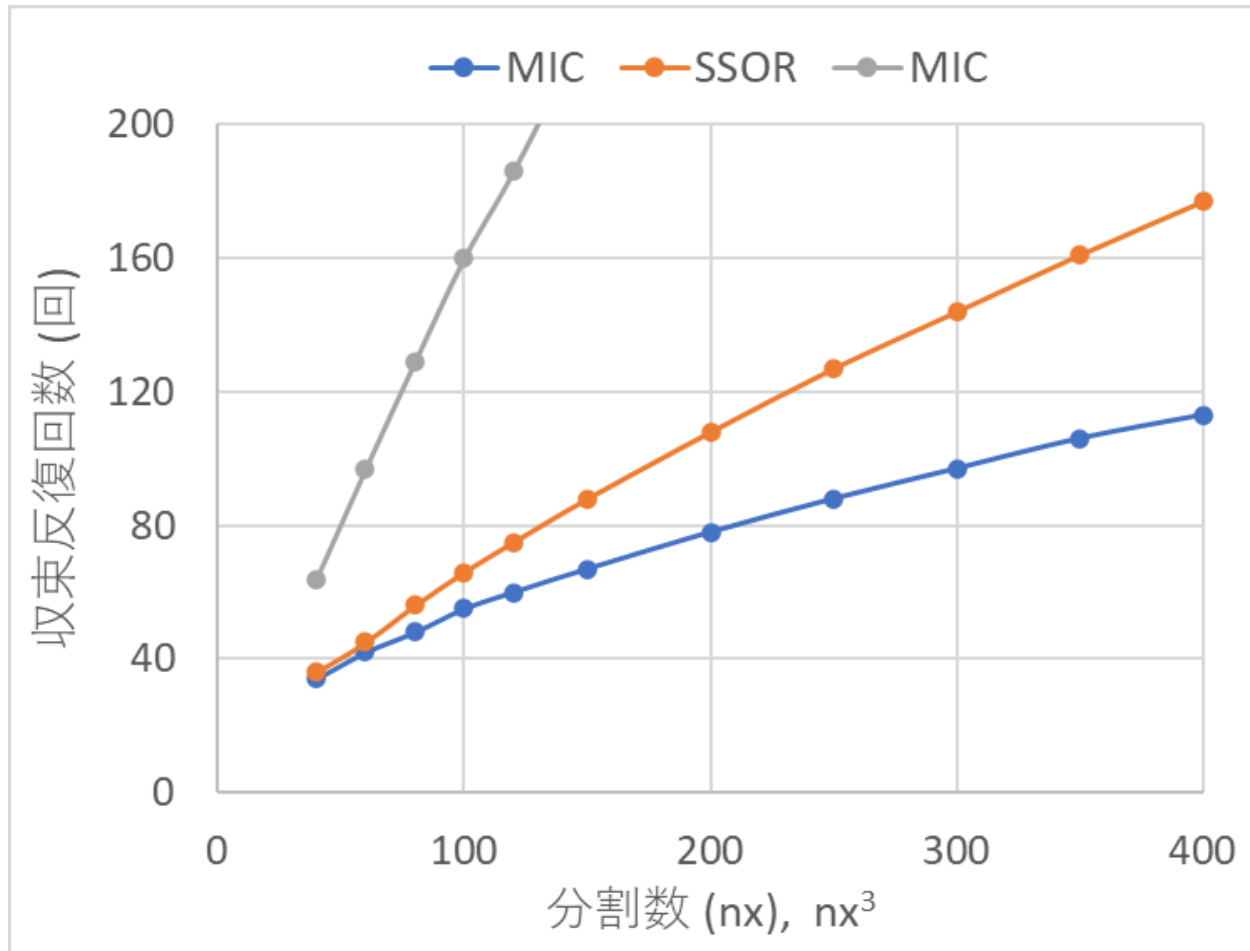


1点固定



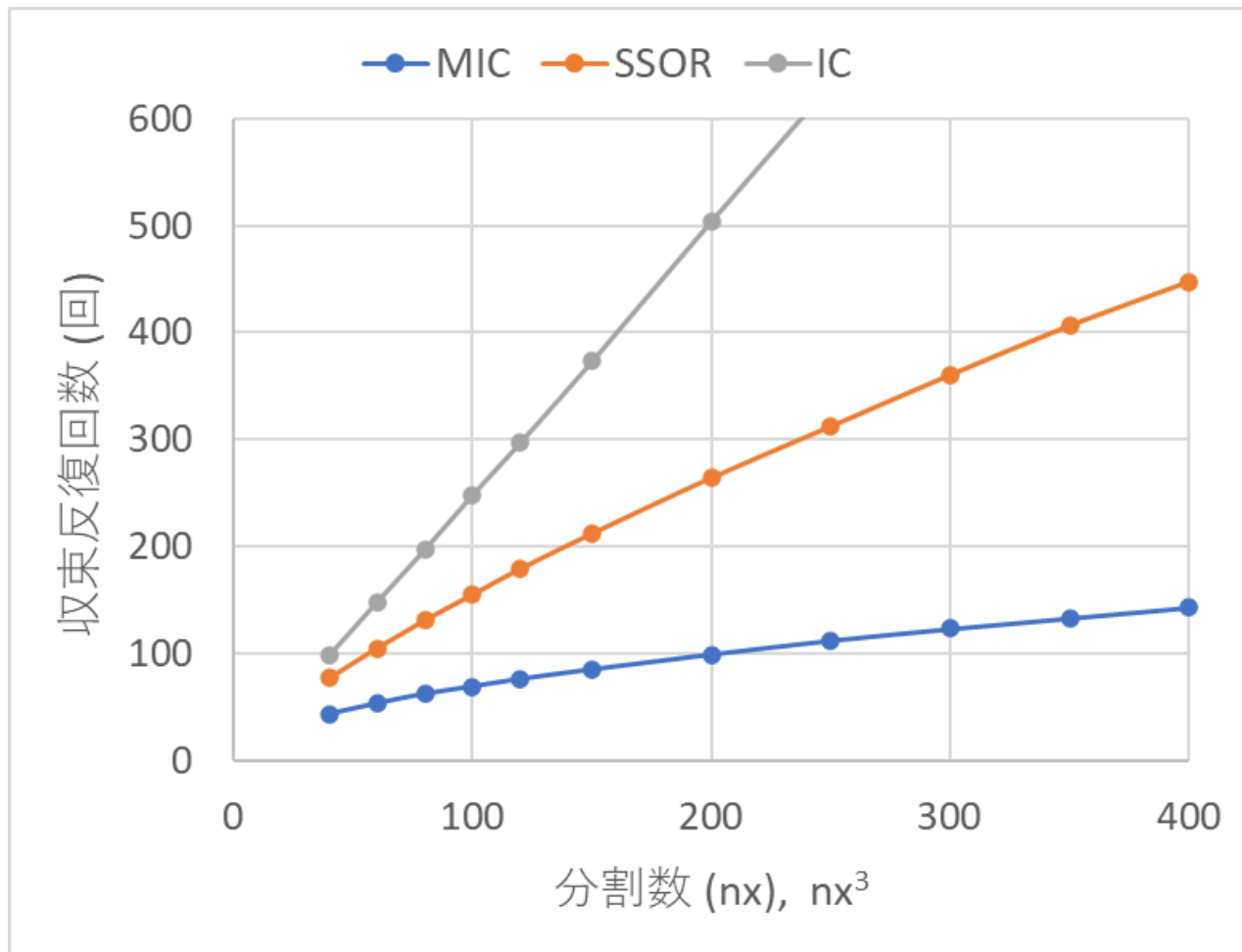
MIC: α
自動
SSOR: ω
最良

5.3 M3A-B3での比較結果



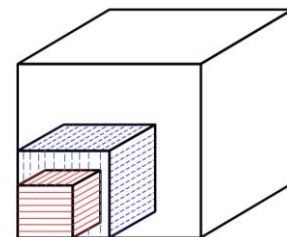
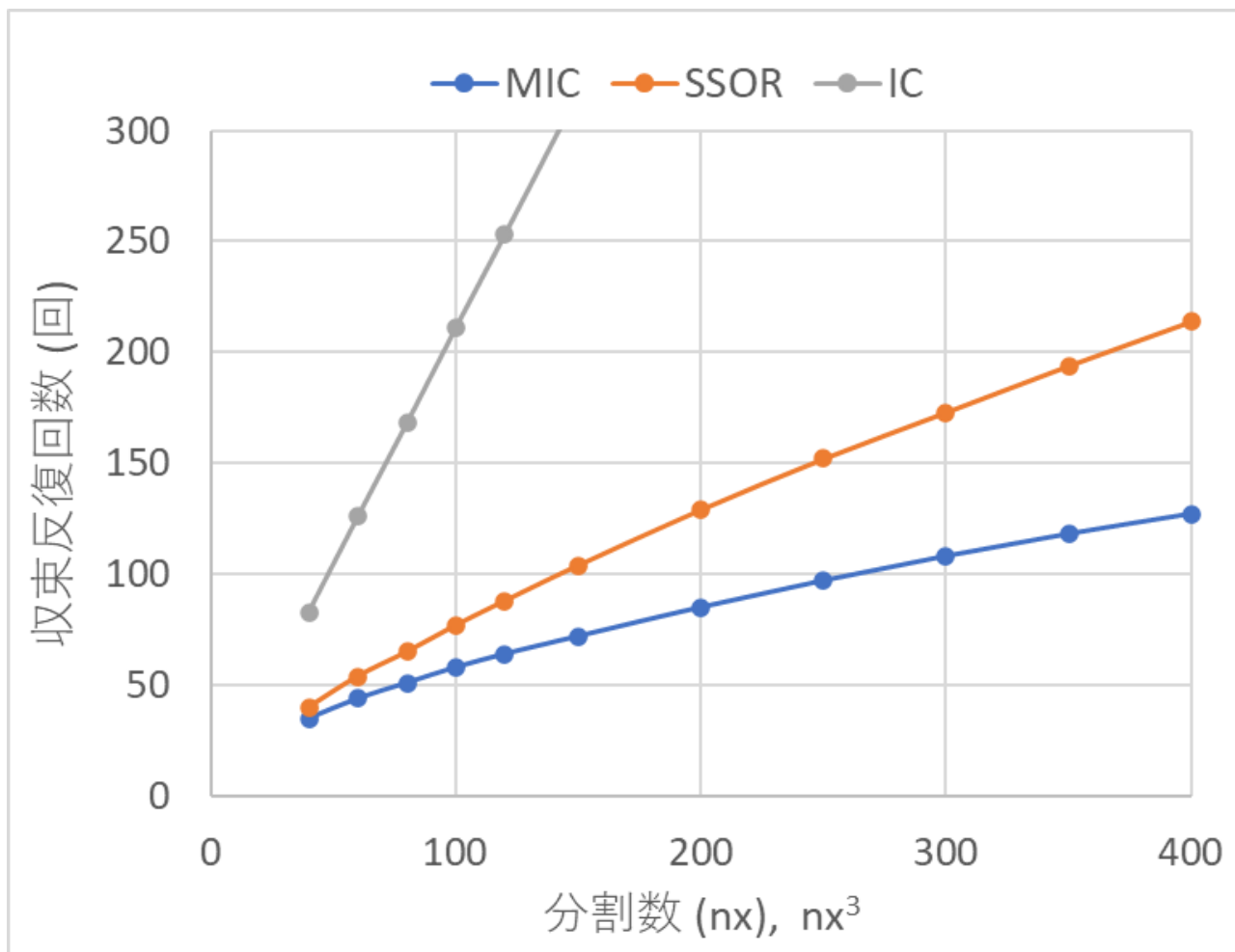
MIC: α
自動
SSOR: ω
最良

5.3 M3B-B3での比較結果



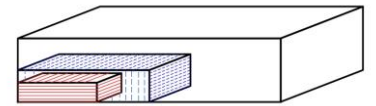
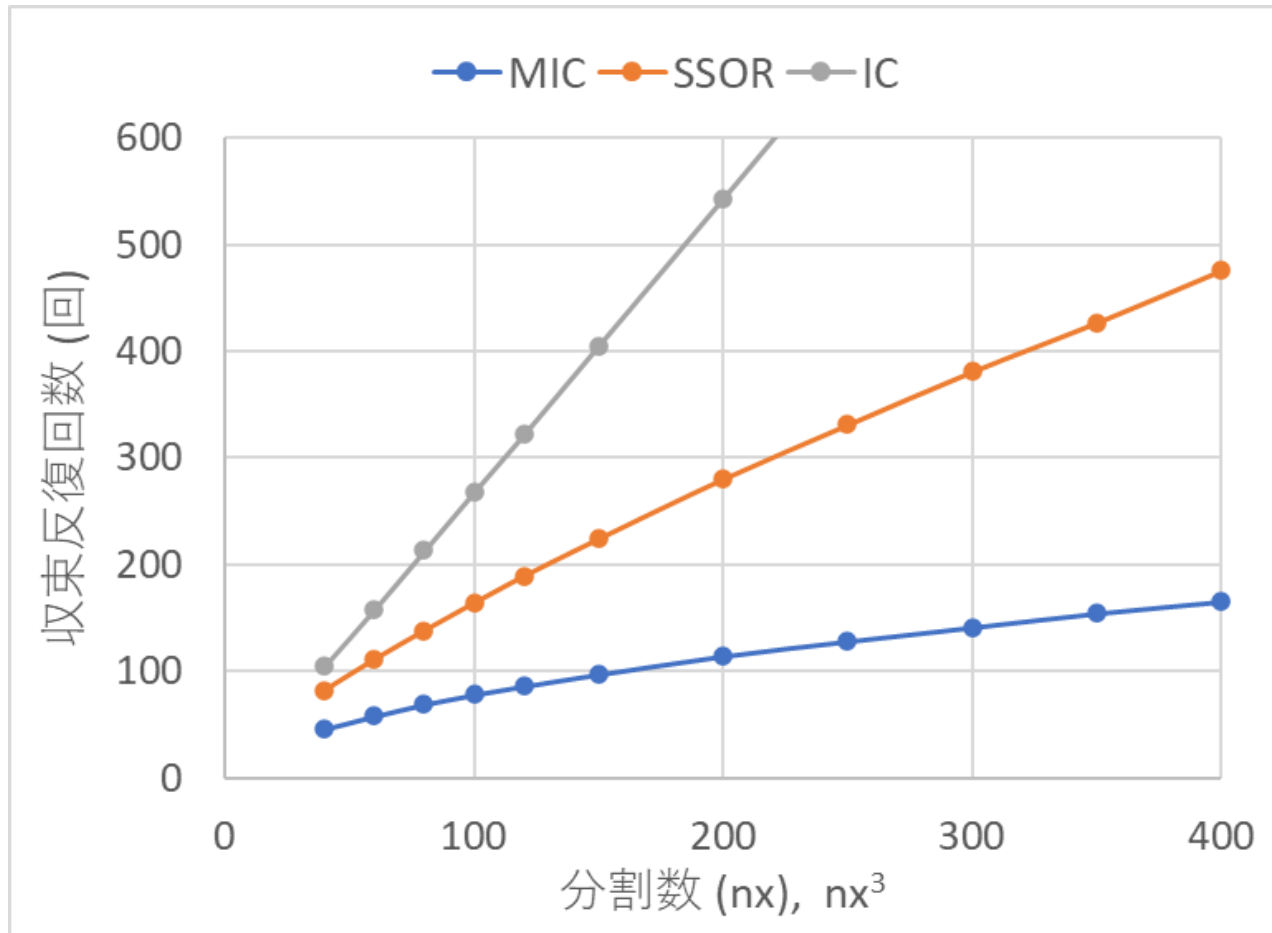
MIC: α
自動
SSOR: ω
最良

5.3 M3C-B3での比較結果



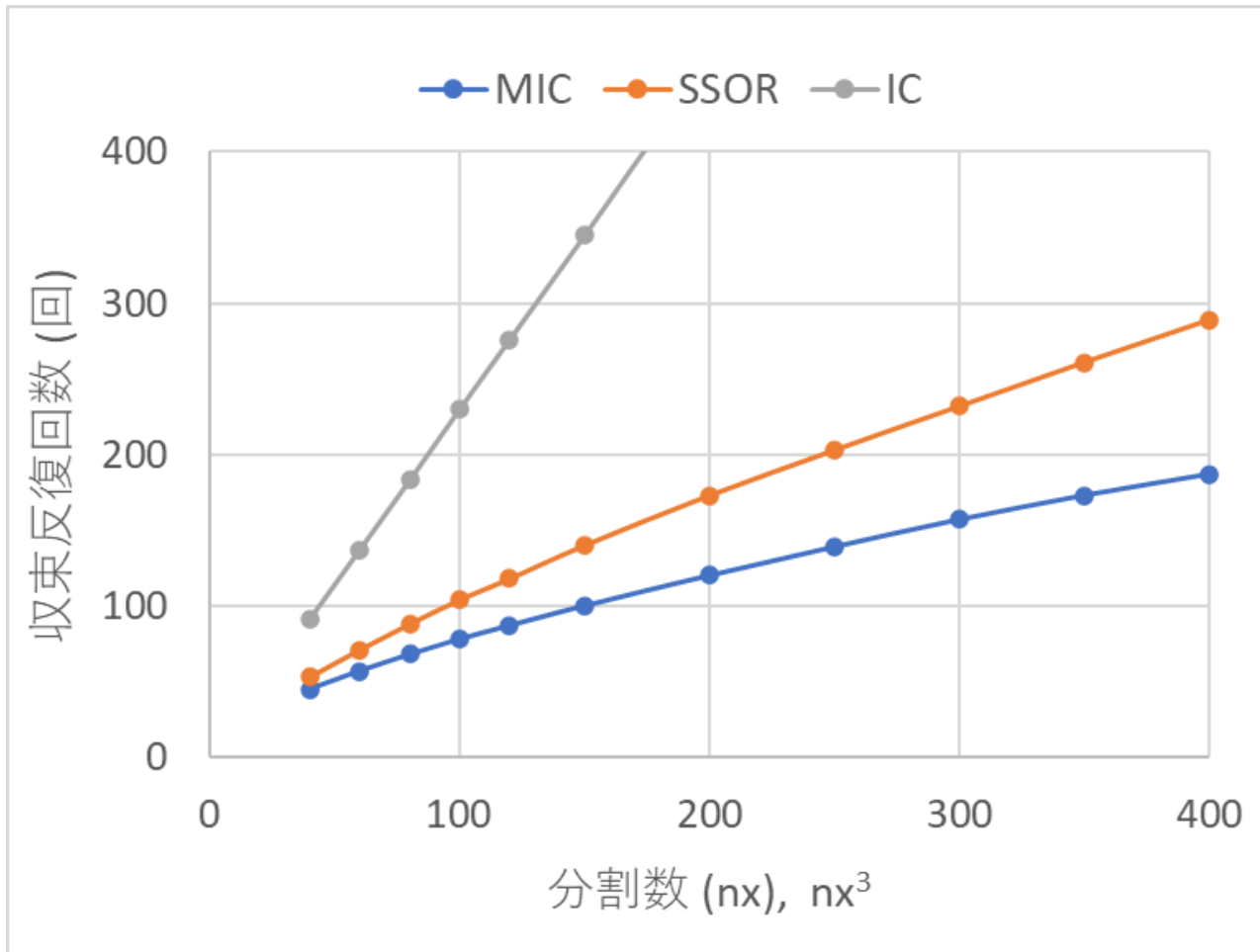
MIC: α
自動
SSOR: ω
最良

5.3 M3D-B3での比較結果

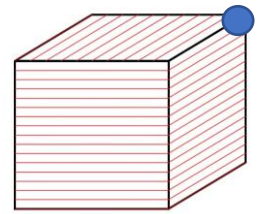


MIC: α
自動
SSOR: ω
最良

5.4 M3A-B6での比較結果



1点固定



MIC: α
 自動
 SSOR: ω
 最良

6 おわりに

- MICCG法のパラメータ α を自動設定できた
- 分割数と $1-\alpha$ は対数で比例と判明
- MICCG法はICCG法より圧倒的に有利
- MICCG法とSSOR前処理付きCG法の比較
最良 ω のSSORより自動 α のMICが有利
分割数が大きいくほどMICCG法の効果が大
収束が遅い(複雑)ものほどMICCG法の効果大
2次元では最大で4.7倍の効果 (5000 × 5000)
3次元では最大で3.1倍の効果 (400 × 400 × 400)